

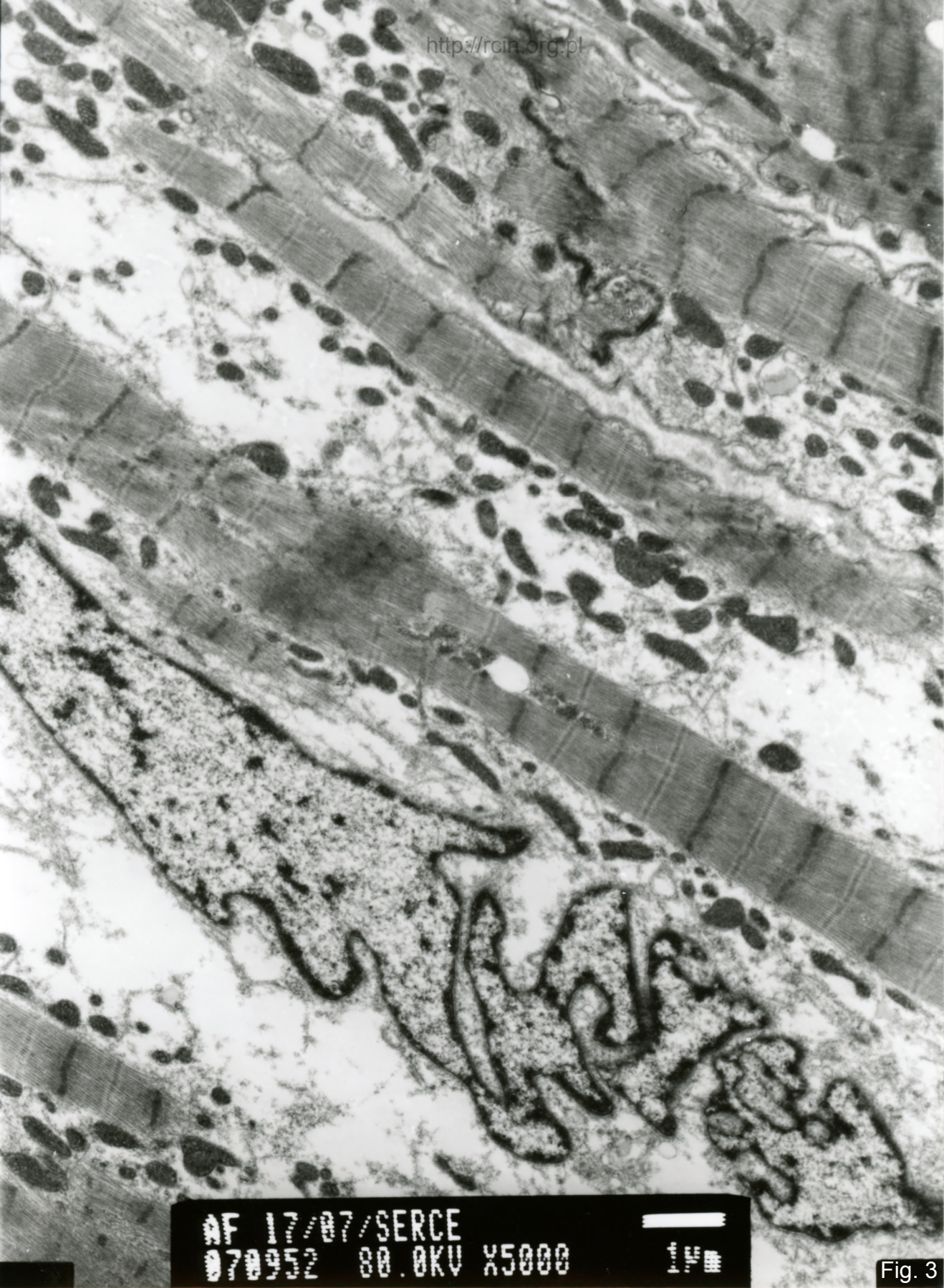
AF 17/07/SERCE
070951 80.0KV X3000 2µm

Fig. 1

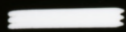


AF 17/07/SERCE
070954 80.0KV X4000 24

Fig. 2

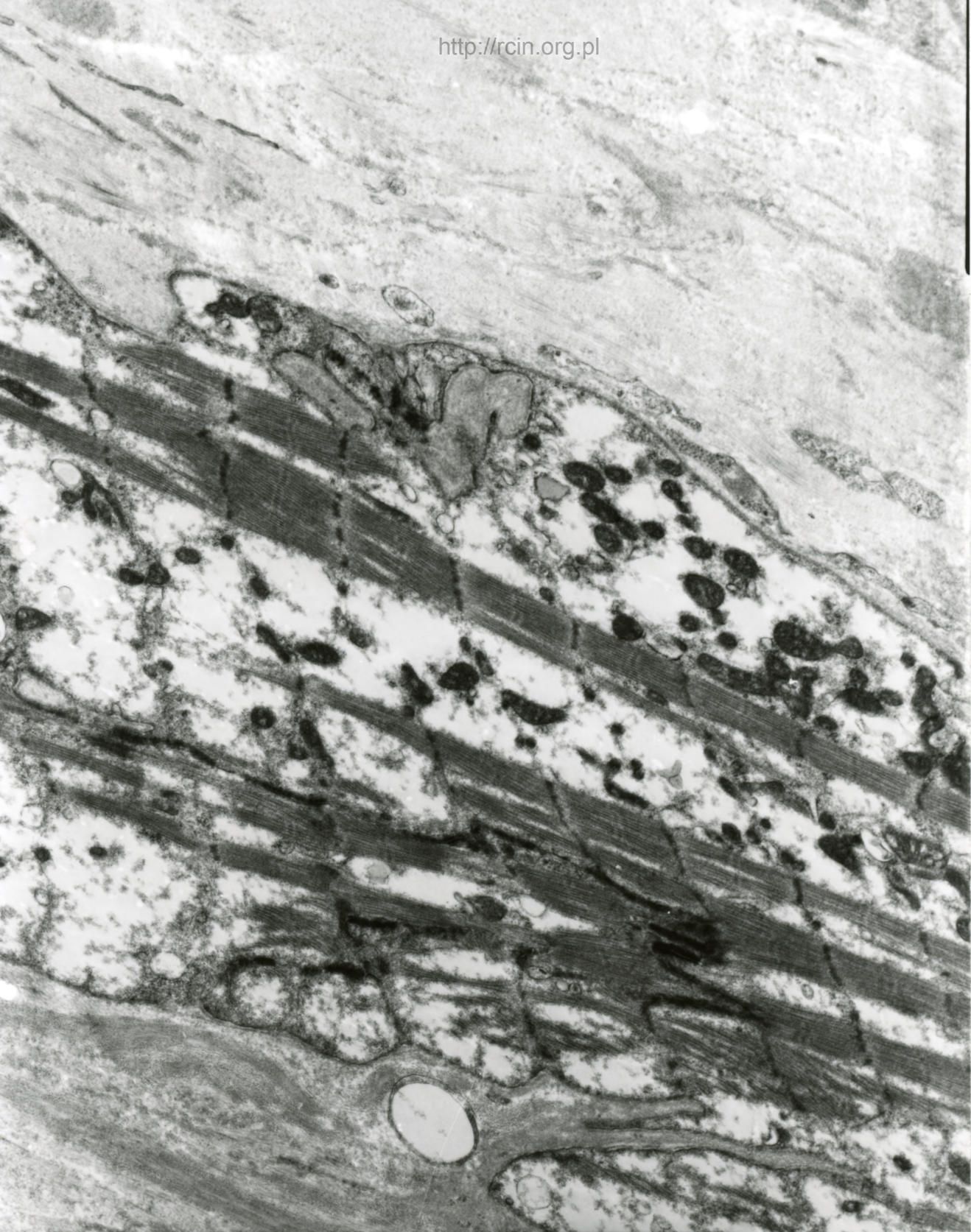


AF 17/07/SERCE
070952 80.0KV X5000



1µm

Fig. 3



AF 17/07/SERCE
070953 80.0KV X5000

Fig. 4

17/07

1. 59

Kardiomiopatia rozstrzeniowa

Analiza ultrastrukturalna wykazała szereg nieprawidłowości w budowie kardiomiocytów. Obserwowano dezorganizację miofibryli, a wielu obszarach ich całkowity zanik. Mitochondria charakteryzowały się ciemną macierzą. Widoczne były złogi lipofuscyny (Fig. 1,2). Niektóre jądra kardiomiocytów miały nieprawidłowy kształt, otoczka jądrowa była pofałdowana, z licznymi wgłobieniami (Fig. 3). Pomiędzy włóknami występowała obficie tkanka łączna (Fig. 4)

Dilated cardiomyopathy

Electron-microscopy analysis revealed a number of ultrastructural changes in the cardiomyocytes. Disorganization of myofibrils and in many areas its complete atrophy were observed. Mitochondria were characterized by a dark matrix. Lipofuscin deposits were visible (Fig. 1,2). Some cardiomyocytes nuclei were abnormally shaped, the nuclear envelope was often corrugated, with numerous indentations (Fig. 3). There was abundant connective tissue between the fibers (Fig. 4)